

EKSTENSÖR MOTOR NÖRON TIPLERİ

Doç. Dr. Üner TAN*

ÖZET

Ekstensör motor nöronların aksonal impuls büyüklüğü ve deşarj frekansları istatistiksel metodlarla irdelendi. Tek ekstensör motor nöronlar deserebre kedilerde fonksiyonel olarak izole edildiler.

En küçük impulslar, en küçük motor nöronlar olan gamma motor nöronlarına aittiler. Bu motonöronlar aksonal impuls büyülüğine göre üç gurupta toplandılar: küçük, orta büyük. Ekstensör alfa motor nöronlarda akson kalınlığına göre aynı dağılımı gösterdiler. Aksonal impuls hücre büyülüğüne için bir indeks olduğunu bu motonöronlarda morfolojik olarak küçük, orta büyük ve büyük olarak ikiye ayırdılar.

Deşarj şekli ve hücre büyülüğü birlikte dikkate alındığında ekstensör alfa motonöronlar 6 guruba ayrıldılar: küçük-tonik, orta büyük-tonik, büyük-tonik, kısa deşarj süreli ve uzun deşarj) büyük-fazik, çok büyük-fazik.

Ekstensör alfa motor nöronların maksimal deşarj frekansı hücre büyülüğü ile doğru orantılı olarak değişiyordu ve şu dağılımı gösteriyordu: 5-15 impuls/sn (küçük-tonik), 15-20 impuls/sn (orta büyük-tonik), 25-40 impuls/sn (büyük-tonik) ve 35-55 impuls/sn (büyük-fazik). Aynı motor nöronların stabilize deşarj frekansları ise, 5-10 impuls/sn (küçük-tonik), 10-15 impuls/sn (orta büyük-tonik) ve 15-20 impuls/sn (büyük-tonik), arasında bulunuyordu.

Aksonal impuls büyülüğü, motor nöron büyülüğü için bir indeks olarak kabul edilerek deney sonuçlarının fonksiyonel önemi tartışıldı.

(*) Atatürk Üniversitesi Tıp Fakültesi Fizyoloji Kürsüsü Yöneticisi.

GİRİŞ

Ekstensör alfa motor nöronlar (motonöron) tonik ve fazik olarak iki grupta toplandılar (1). Fakat daha sonra, motonöronlar kas uzatılması yerine elektriksel olarak uyarılırlarsa, en azından üç tip alfa motonöron ayırdedileceği gösterildi (2, 3).

Elektromikroskopik ve histokimyasal araştırmalar, ekstensör kasların üç tip kas hücreinden meydana geldiğini gösterdi (4, 5, 6, 7). Kasların çapraz innervasyonuna ilişkin deneyler (8) kas liflerinin fizyolojik özelliklerinin bu lifleri innerve eden motonöronların deşarj paterni tarafından belirlendiğine ilişkin düşünceyi destekler niteliktir. Bu motonöronların deşarj şekilleri ise afferent input özelliklerine bağlı olabilir. Bu nedenle, motonöronlar ortodromik elektriksel stimülasyon ile aktive edildikleri takdirde hangi deşarj paterninin meydana geldiğini görmek önemlidir. Bu çalışmada istatistik yöntemle elde edilen sonuçlar sunulacaktır.

Materyal ve Metot

Deneyler 22 yetişkin kedide yapıldı. Ekstensör motonöronlar interkollikuler deserebre edilmiş kedilerde incelendiler. Deserebrasyondan önce deney hayvanları etter ile uyutuldular. Bu safhada sağ ve sol carotis communis arterleri bağlandılar ve bunlardan biri kanüle edilerek basınç transdürseri üzerinden bir poligrafa bağlanarak arteryel kan basıncının deney boyunca kontrolu sağlandı. Sol arka

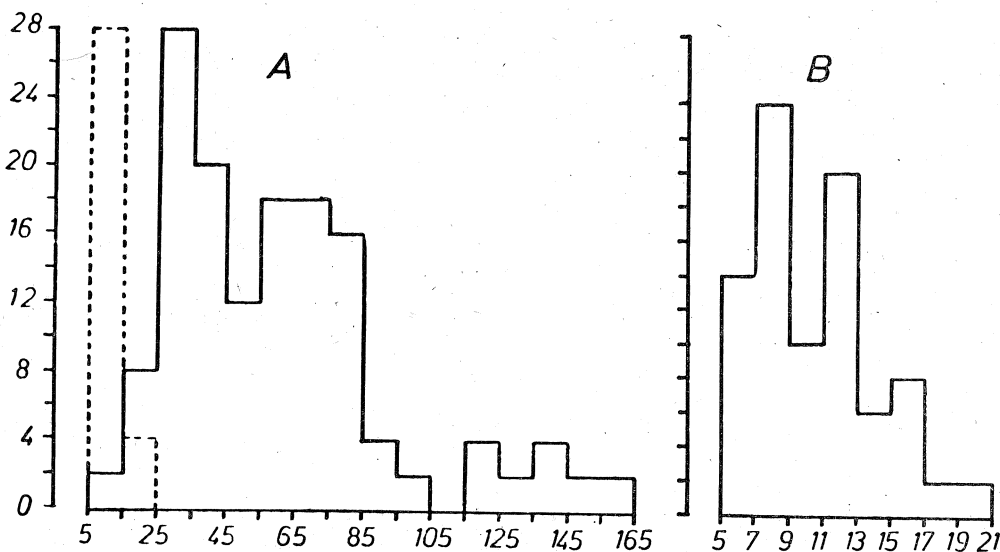
ekstremit tamamen denerva edildi ve gastrocnemius siniri komşu dokulardan temizlenerek distal kısmından 1-2 cm uzunluğunda prepare edildi. 5. lumbal segmentten 2. sakral segmente kadar laminektomi yapılarak medulla spinalis açıldı. Deserebrasyondan sonra eter narkozuna son verildi ve iki saatlik bir aradan sonra deneye başlandı. Bu arada, sol tarafta 6. ve 7. lumbal ön köklerle 1. sakral ön kök omurilik kanalını terkettiği kısımdan kesildiler. Tek motonöronlar genellikle 7. lumbal ön kökün preparasyon mikroskopu altında liflerine ayrılmış ile fonksiyonel olarak izole edildiler. Motonöron aksonunu ihtiva eden ince lif bir kaydedici elektrodon üzerine konuldu. Bu elektrood preamplifikatör üzerinden osiloskopa bağlanarak motonöronal impulslar izlendiler. İmpuls büyüklükleri arasında karşılaştırma yapabilmek için aynı amplifikasyon kullanıldı. Amplifikatörün bir çıkışı hoparlöre bağlanarak motonöronal impulslar sese çevrildi. Böylece tek motonöronun izolasyonu kolaylaştırıldı. Osiloskop traseeleri bir kamera yardımı ile fotoğraf kâğıdı üzerinde 1 saniyeye düşen motonöronal impuls miktarı sayılarak deşarj frekansı bulundu. Motonöronlar prepare edilen sinirlerin genellikle 60-300 mV, 0,05 msn ve 100 Hz ile tatanızasyonu ile uyarıldılar. Polisinaptik olarak aktive edilen motonöronlar incelenmediler. Sadece monosinaptik aktive edilen kısa latentli motonöronların deşarj paternleri bu çalışmaya konu olarak alındı.

Sonuçlar :

Şekil 1 de motonöronal impuls amplitüdü histogramları görüliyor. 174 motonöronal birimin impuls amplitüdleri ölçüldü. Bulardan 32 i spontan aktif gama motonöronlarına aitti. Bu motonöronların (gama) impulsları şekil 1A daki histogramda ilk tepeyi teşkil ediyordu. Yani bu motonöronların impuls büyüklüğü en küçük grubu meydana getiriyordu.

Alfa motonöronların impuls büyüklüğü histogramı 3 tepeli ayrı bir guruptan oluşuyordu (şekil 1A: düz çizgili kısım; gama motonöronlarına ait kısım şekil 1A da kesik çizgilerle gösterilmiştir).

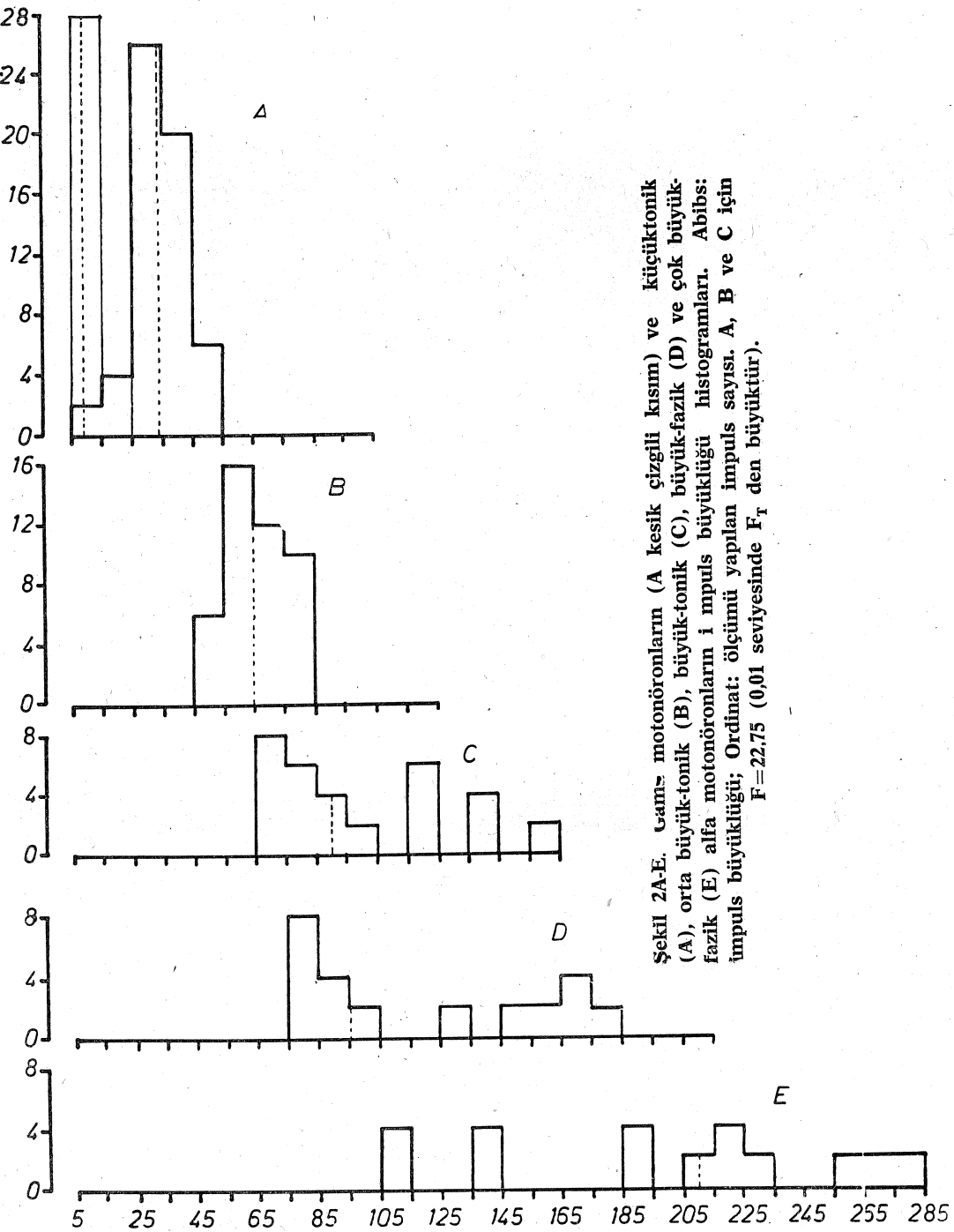
Şekil 1B deki histogram, Şekil 1A daki gama motonöronlara ait kesik çizgili kısının sınıf aralığının azaltılması ile elde edildi. Bu histogramdaki 3 tepe, 3 tip gama lifi olduğunu gösteriyor: küçük, orta büyük, büyük.



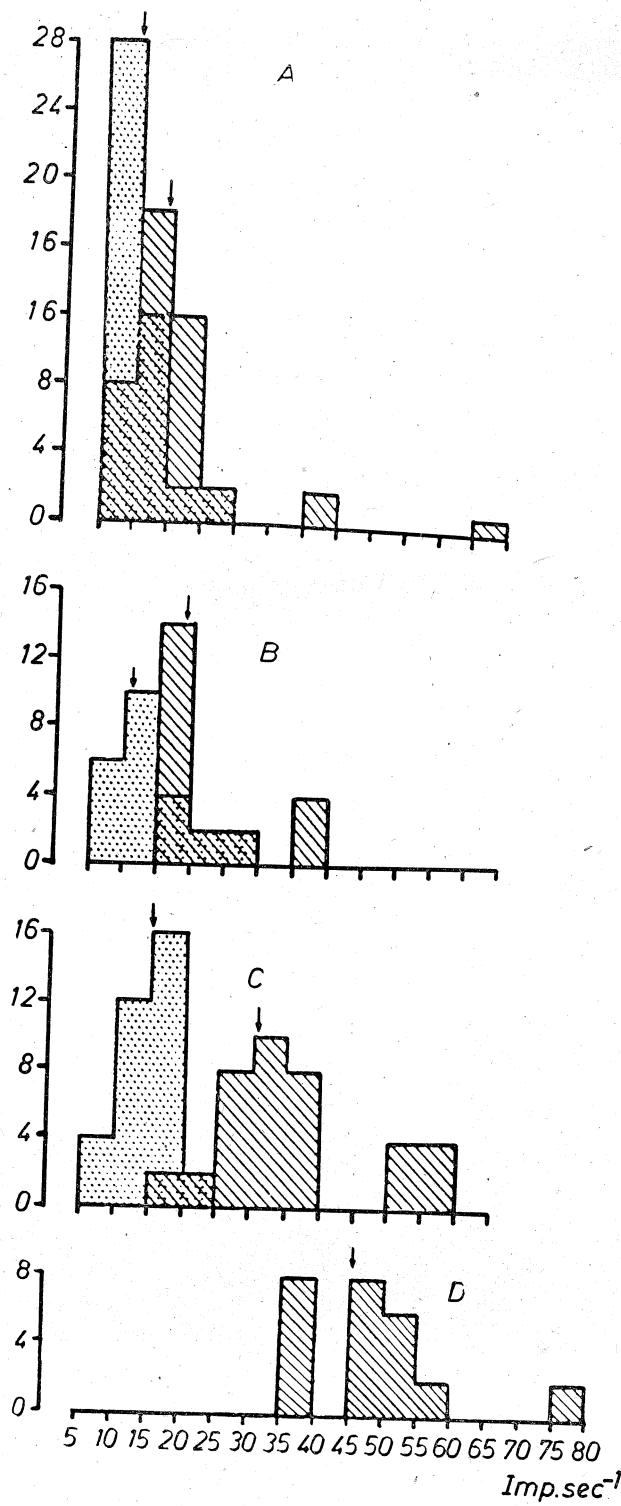
Şekil 1. Ekstensör alfa motonöronlarının (A da düz çizgili kısım) ve gama motonöronlarının (A da kesik çizgili kısım ve B) impuls büyüklüğü histogramları. Absis: impuls büyüklüğü; ordinat: impuls sayısı.

Şekil 2 deki histogramlar, motonöronların morfolojik ve fonksiyonel özellikleri göz önüne alınarak teşkil edildiler. Spontan aktif gama motonöronlar en küçük birimleri teşkil ediyorlardı (A: ince çizgili kısım; median: 9). Tonik alfa motonöronlar 3 gurupta top-

landılar: küçük (A: kalın çizgili kısım; sıklık: %30,8; median: 34), orta büyük (B; sıklık: %23,9; median: 65) ve büyük (C; sıklık: %17,2; median: 90). Bu üç örneklemin aritmetik ortalamaları 33,2 (küçük) 65 (orta büyük) ve 99 (büyük) olarak bulundu.



Sekil 2A-E. *Gam* motonöronlarının (A kesik çizgili kism) ve küçüktonik (A), orta büyük-tonik (B), büyük-fazik (C), büyük-fazik (D) ve çok büyük-fazik (E) alfa motonöronların impuls bütünlüğü histogramları. Abis: impuls bütünlüğü; Ordinat: ölçümü yapılan impuls sayısı. A, B ve C için $F=22.75$ (0,01 seviyesinde F_T den büyük).



Sekil 3. Küçük-tonik (A), orta büyüt-ktonik (B), büyük-tonik (C) ve büyük-fazik (D) motonöronların inişiyal adaptif olmamış (çapraz tarammış kısım) ve adaptif olmuş (noktalı kısım) deşarj frekanslarını gösteren histogramlar.
Absisi : deşarj frekansı; ordinat: motonöron sayısı.

Fazik motonöronlar 2 alt grubu ayrıldılar: bunlardan bazıları sadece kısa süreli «burst» şeklinde deşarj yapıyorlar, diğerleri 10 saniyeye kadar devam eden deşarj meydana getirebiliyorlardı (Şekil 2 D; sıklık: % 13,8; median: 95) ve bazıları da uzun süreli stimülasyona rağmen 1 yada 2 impuls sevkedebiliyorlardı (Şekil 2E; sıklık: % 12,7; median: 210). Tonik motonöronlar tüm populasyonun % 71,6 ini, fazik motonöronlar ise % 24,8 ini meydana getiriyordu. Büyük-tonik ve büyük-fazik motonöronların median değerleri arasında önemli bir fark yoktu (C ve D).

Şekil 3, 134 alfa motonöronun maksimum deşarj frekansı (çapraz taranmış kısım) ve adapte olmuş stabilize deşarj frekansı (noktalı kısım)ının dağılımını gösteriyor. Maksimum deşarj frekansının median değerleri (oklar) şöyle idi: 14 impuls/sn (A: küçük-tonik motonöronlar), 19 impuls/sn (B: orta büyük-tonik), 31 impuls/sn (C: büyük-tonik) ve 45 impuls/sn (D: küçük-fazik). A, B, C ve D deki tepe değerleri sırası ile 5-15, 15-20, 25-40 ve 35-55 impuls/sn arasında bir dağılm gösteriyor. Stabilize deşarj hızlarının median değerleri (ilk oklar), küçük-tonik, orta büyük-tonik ve büyük-tonik motonöronlar için sırası ile 9, 11 ve 15 impuls/sn olarak tesbit edildi. A, B ve C deki (noktalı bölgeler) tepe değerleri ise yine aynı motonöronlar için 5-10, 10-15 ve 15-20 impuls/sn arasında bulundu.

Tartışma:

Bu çalışmanın sonuçları aksonal impuls büyüklükleri ölçümleme dayanıyor. Gasser (9) den, aksonal impuls büyüklüğünün akson çapı ile doğru orantılı olarak değiştiği biliniyor. Diğer tarafından, akson çapı ile hücre büyülüğu arasında pozitif bir korelasyon bulunduğuuna ilişkin deliller mevcuttur (10, 11, 12). Bu nedenle, bu çalışmada, aksonal impuls büyülüğu Granit ve ark. (1, 13) ve Nenneman ve ark. (14, 15) gibi motonöron büyülüği için bir indeks olarak kabul edilecektir.

Gama Motonöronlar. Ön boyuz hücrelerinin en küçük grubunu gama monöronları teşkil ediyorlar (Şekil 1A). Bu aslında yeni bir bulgu değildir. Fakat kullanılan metodun doğruluğunu ve bu nedenle sonuçların güvenilirliğini göstermesi bakımından önemlidir. Sınıf aralığını azaltmak suretiyle, gama motonöron gurubunun küçük, orta büyük ve büyük olarak üç alt guruptan teşekkür ettiği bulundu (Şekil 1B). Bu üç grup lif, yavaş, orta ve çabuk ileten lifler olarak vasıflandırılabilirler, çünkü lif çapı ile ileti hızı arasında doğru orantılı bir ilişki vardır (16). Motonöronlar, genel olarak düşünüldüğü gibi, innervetikleri kas liflerinin histokimyasal özelliklerini gerçekten belirliyorlarsa, üç tip intrafuzal kas lifinin mevcut olması beklenir. Bununla ilgili olarak, Ovalle ve Smith (17), kedinin lumbrikal kaslarında, ATPase aktivitesine göre üç

tip intrafuzal kas lifi tarif ettiler; koyu boyananlar, açık boyananlar ve ara tipler. Bu liflerin koyuluk derecesi kontraksiyon hızı ile ilgilidir. Çünkü kontraksiyon hızı ATPase aktivitesi ile doğru orantılı olarak değişir (18, 6, 19). Sonuç olarak, bunlar yavaş (bagl), çabuk (chain) ve ara tipler (bag2) olarak vasiflandırılabilirler.

Alfa Motonöronlar. Daha önceki çalışmalarında, morfolojik ve fonksiyonel özelliklerine göre en azından üç tip ekstensör alfa motonöron ayırdedileceği gösterilmiştir (2, 3). Fakat bu sonuçlar istatistiksel analize dayanmıyordu. Şekil 1A daki histogram, motonöronların küçük, orta büyük ve büyük olmak üzere üç gurupta toplanabileceğini gösteriyor. Bundan dolayı önceki klasifikasyonun gelişigüzel bir seçime dayanmadığı söylenebilir.

İmpuls amplitütleri, motonöronal deşarj şekilleride göz önüne alınarak, ayrıntılı bir analize tabi tutulursa, üç tip tonik ve üç tip fazik motonöron ayırdedilebilir (Şekil 2). Tonik motonöronlar üç gurubu ayrıldılar: küçük, orta büyük ve büyük. Bu alt gurupların hem median değerleri hem de aritmetik ortalamaları farklı idiler. Bu alt guruplamanın istatistiksel önemini saptamak için varyans analizi tekniğinden faydalılarak F değeri hesaplandı ve bunun tablo değerinden çok daha yüksek olduğu bulundu. Bundan dolayı, yukarıda açıklanan üç alt gurubun aynı populasyona ait olmadığı sonucuna varıldı.

Fazik motonöromlar, küçük-tonik ve orta büyük-tonik motonöronlardan daha büyüktüler. Bununla beraber, büyük-tonik ve büyük-fazik motonöronlara ait median değerleri farklı bulunmadılar (Şekil 2C ve D). Bundan dolayı, Granit ve ark. (1) tarafından ortaya atılmış olan, tonik motonöronların küçük, fazik motonöronlarında büyük olduğuna ilişkin hipotez doğru değildir. Deşarj süresine göre fazik motonöronlar üçe ayrıldılar. Buna göre 6 tip motonöron elde edilmiş oldu. Şekil 2D deki histogram iki tip motonöronu kapsıyor. Bunlardan bir kısmı «burst» şeklinde, diğerleri ise 10 saniyeye kadar devam eden deşarj meydana getiriyordu. Sadece bir yada iki impuls meydana getirebilen fazik motonöronlar en büyük hücreleri teşkil ediyordu (Şekil 2E). Diğer taraftan, Şekil 1A daki impuls büyülüüğü histogramında sadece üç tip motonöron bulunmuştu. Bu nedenle, sadece impuls amplitüdü yada hücre büyülüğine göre yapılan klasifikasyonlar yanlış yorumlara sebebiyet verebilirler.

Motonöronların adapte olma-
miş başlangıç deşarj frekansı ve adapte olmuş stabilize deşarj frekansı doğrudan doğruya hücre büyülüğine bağlı idi (Şekil 3.). Granit ve ark. (20), minimal deşarj frekansının 6-10 impuls/sn ve maksimum deşarj frekansının 13-25 impuls/sn arasında olduğunu buldu-
lar. Bu konuda daha ayrıntılı bilgi bu çalışmada verilmiştir: Mak-

simal deşarj frekansları, küçük tonik, ortak büyük-tonik, büyük-tonik ve büyük-fazik motonöronlar için sırası ile, 5-15, 15-20, 25-40 ve 35-55 impuls/sn idi. İntrasellüler olarak uyarılan motonöronların deşarj hızında 50 Hz erişebiliyor. Gastrocnemius ve soleus kaslarının füzyon frekansları 80 ve 30 Hz tir (21). Bu değerler tek motonöronların deşarj frekansından daha yüksektir. Ancak, gastrocnemius kasının tek A, B ve C liflerinin füzyon frekansları 10-50, soleusunkiler ise 20-50 Hz arasında bulunuyor (22). Bu değerler bu çalışmada bulunan motonöronal impuls frekanslarına uymaktadır. Stabilize deşarj frekansları ise Denny Brown (24) tarafından postural refleksler için bulunan değerlere (5-25 Hz) uygun düşmektedir.

Histokimyasal Bulgular ile İlişki. Kas birimlerinin histokimyasal ve kontraktil özelliklerinin bu kas liflerini innerve eden motonöronların deşarj paternine göre belirlendiği genellikle kabul ediliyor. Bu çalışmanın sonuçlarına göre, motonöronların klasifikasiyonu geniş bir spektruma dayanıyor. Bunun sonucu olarak üç tip kas lifinden daha fazla tipte kas lifinin bulunması beklenir.

Henneman ve Olson (25) gastrocnemius kasında ATPase kapsamına göre üç tip kas lifi ayırdettiler: A (soluk), B (ara tip) ve C (koyu). Ancak kas liflerinin dinamik özelliklerini dikkate almadan yapılan klasifikasiyonlar fazla basitleştirmeye yol

açabilirler. Kas lifi tiplerinin dinamik tabiatı Guth ve Yellin (26) tarafından ayrıntılı olarak tartışıldı. Burke ve ark. (27) da üç tip kas lifi tarif ettiler: Çabuk yorulan (FF), az yorulan (FR) ve çok az yorulan (S). Bu araştırmacılar kas liflerini motonöronların intrasellüler stimülasyonu ile izole ettiler. Bu fizyolojik olmaktan çok uzak teknikle kas liflerinde de non-fizyolojik cevaplar meydana gelmesi doğaldır. Bundan başka, bu yazarların kullandığı teknikle kas birimlerinin çok çeşitli motonöronal deşarj şekillerinin etkisi altında incelenmesi mümkün değildir. Bu nedenlerle, kas liflerini üç statik tipe ayırmayı sevmeli ve yanlışlıkla sevkedebilir. Bunun yerine, bu çalışmada yapıldığı gibi motonöronların ve motor birimlerin dinamik özelliklerini göz önüne alarak yapılan bir klasifikasiyon - inhibitör etkiler altında bile olsa - (2, 3) motor fonksiyonların plastisitesini açıklamak bakımından önemli olduğu gibi, dinamik-plastik fonksiyonlara uygun kas lifi tiplerinin geniş bir spektrumunun gelişmesi içinde önemlidir.

Extensor Motoneuronal Types

SUMMARY

According to the impulse size three types of extensor alpha motoneuronal units were distinguished: small, medium and large. However, considering the impulse size together with the cell size,

these motoneurones could be divided into six groups: small-tonic, medium-tonic, large-tonic, two types of large phasics and largest phasic. Maximum discharge rates of these motoneurones were found to be as follows: 5-10, 15-20, 25-40 and 35-55 impulses/sec for the small-tonic, medium-tonic, large-tonic and large-phasic units, respectively. The functional significance of this dynamic classification was discussed taking the axonal impulse size as an index for the cell size.

KAYNAKLAR

1. Granit, R., Henatsch, H. D., Steg, G.: Tonic and phasic ventral horn cells differentiated by post-tetanic potentiation in cat extensors. *Acta physiol. Scand.* 37: 114-126, 1956.
2. Tan, Ü.: Changes in firing rates of extensor motoneurones caused by electrically increased spinal inputs. *Pflügers Arch.* 326: 35-47, 1971.
3. Tan, Ü., Yörükhan, S., Rıdvanağaoğlu, A. Y.: A quantitative analysis of the motoneuronal depression produced by increasing the stimulus parameters of afferent tetanization. *Pflügers Arch.* 333: 230-257, 1972.
4. Ogata, T., Mori, M.: Histochemical study of oxydative enzymes in vertebrate musc-
- les. *J. Histochem. Cytochem.* 12: 171-182, 1964.
5. Gauthier, G. F.: On the relationship of ultrastructural and cytochemical features to color in mammalian skeletal muscle. *Z. Zellforsch.* 95: 464-482, 1969.
6. Guth, L., Samaha, F. J.: Qualitative differences between actomyosin ATPase of slow and fast mammalian muscle. *Exp. Neurol.* 25: 138-152, 1969.
7. Ogata, T., Murata, F.: Cytological features of three fiber types in human striated muscle. *Tohoku J. exp. Med.* 99: 225-245, 1969.
8. Buller, A. J., Eccles, J. C., Eccles, R. M.: Differentiation of fast and slow muscles in the cat hind limb. *J. Physiol.* 150: 399-416, 1960.
9. Gasser, H.: The classification of nerve fibres. *Ohio J. Sci.* 41: 145-159, 1941.
10. Cajal, Ramon y.S.: *Histologie du Systeme nerveux de l'homme et des vertebres*. 1. Paris: Meloine 1909.
11. Hodes, R.: Selective destruction of large motoneurones by poliomyelitis virus; conduction velocity of motor nerve fibres of chronic poliomyelitis patients. *J. Neurophysiol.* 12: 257-266, 1949.
12. Hodes, R., Peacock, S. M., Bodian, D.: Selective destructions of large motoneu-

- rones by poliomyelitis virus: size of motoneurones in spinal cord of rhesus monkeys. *J. Neuropath. exp. Neurol.* 8: 400-410, 1949.
13. Granit, R., Phillips, C. G., Skoglund, S., Steg, G.: Differentiation of tonic from phasic alpha ventral horn cells by stretch, pinna and crossed extensor reflexes. *J. Neurophysiol.* 20: 470-481, 1957.
14. Henneman, E., Somjen, G.G., Carpenter, D.O.: Functional significance of cell size in spinal motoneurones. *J. Neurophysiol.* 28: 560-580, 1965.
15. Henneman, E., Somjen, G.G., Carpenter, D. O.: Excitability and inhibitory of motoneurones of different sizes. *J. Neurophysiol.* 28: 599-620, 1965.
16. Zotterman, Y.: Touch, pain and tickling: an electrophysiological investigation on cutaneous sensory nerves. *Physiol.* 95: 1-28, 1939.
17. Ovalle, W. K., Smith, R. S.: Histochemical identification of myosin correlated with muscle fibres in the cat and monkey based on the myosin ATPase reaction. *Canad. J. Physiol. Pharmac.* 50: 195-202 1972.
18. Barany, M.: ATPase activity of three types of intrafusal speed of muscle shortening. *J. Gen. Physiol.* 50: 197-218, 1967.
19. Samaha, F. J., Guth, L., Albers, R. W.: Differences between fast and slow muscle myosin. ATPase activity and release of associated proteins by p-chloromercuriphenyl sulfonate. *J. biol. Chem.* 245: motoneurones. *J. Physiol.* 154: of discharge rate of extensor bition in relation to frequedge, L. T.: Recurrent inhi- 308-328, 1960. ency of firing and limitation 219-224, 1970.
21. Cooper, S., Eccles, J.C.: The isometric responses of mammalian muscles. *J. Physiol.* 69: 377-385, 1930.
22. Wuerker, R. B., McPhedran, A.M., Henneman, E.: Properties of motor units in a heterogeneous pale muscle (*m. gastracnemius*) of the cat. *J. Neurophysiol.* 28: 85-99, 1965.
23. Mosher, C.G., Gerlach, R.L., Stuart, D.G.: Soleus and anterior tibial motor units of the cat. *Brain research* 44:1-11, 1972.
24. Denny-brown, D.: On the nature of postural reflexes. *Proc. roy. Soc. B* 104, 252-301, 1929.
25. Henneman, E., Olson, C. B.: Relations between structure and function in the design of skeletal muscles. *J. Neurophysiol.* 28: 581-599, 1965.
26. Guth, L., Yellin, H.: The dynamic nature of the so-called «fiber types» of mammalian skeletal muscle. *Exp. Neurol.* 31: 277-700, 1971.